

HWAHAK KONGHAK Vol. 19, No. 5, October pp.363-372
 《報文》 (Journal of the Korean Institute of Chemical Engineers)

콩기름의 선택적 수소첨가 공정에 관한 연구

오성국* · 홍성권** · 이준식

한국과학기술원

*코리아 엔지니어링 주식회사

**제일합섬 주식회사

(접수 1981. 9. 25)

A Study on the Selective Hydrogenation Process of Soybean Oil

Sung-Gook Oh*, Seong-Kwon Hong** and Joon Shick Rhee

Korea Advanced Institute of Science and Technology, Seoul 131, Korea

(Received September 25, 1981)

요 약

본 연구에서는 실험실에서 조립한 회분식수소 첨가반응 장치를 사용하여 균질한 촉매와 원료하에서 콩기름의 수소첨가반응을 특성짓는 반응속도, 선택도비, 트란스 이성질체의 생성에 미치는 공정 변수(교반속도, 촉매농도, 반응온도, 반응압력)의 영향을 조사함으로써, 각각의 바라는 생성물을 생성시키기 위한 일련의 반응조건들을 선택하는데에 지침이 되는 기본자료를 제시하였다. 또한 콩기름의 수소첨가 공정에서 문제가 되고 있는 반응생성물로 부터의 닉켈촉매 입자들을 제거하는데 Gulftronic 분리기의 도입 타당성 여부를 실험실용 분리기를 사용하여 시험한 결과, 이 분리기는 조절, 운전, 분리성능면에 있어서 종래의 여과방법보다 훨씬 더 효율적이라고 결론지울수 있었다.

ABSTRACT

In this study, we presented the basic data for a guide to the selection of a set of conditions to give each desired products by investigating the effects of such process variables as agitation rate, catalyst concentration, temperaturure and pressure on the reaction rate, selectivity ratio and trans-isomer formation which characterize the hydrogenation of soybean oil under consistent catalyst and feeds. On the other hand, catalyst separation from the oil after the reaction was attempted with a laboratory scale Gulftronic separator and the separator was highly satisfactory in terms of control, operation, and efficiency.

*Korea Engineering Co., Seoul 150, Korea

**Cheil Synthetic Fiber Co., Koomi, Kyungpook 641, Korea

1. 서 론

수소첨가공정은 식용유 정제공정중 가장 중요한 공정중의 하나이며 콩기름과 같이 불포화도가 높은 식물성 식용유의 생산 및 소비가 전 세계적으로 증가함에 따라 그 중요성이 더욱 강조되고 있다. 수소첨가공정은 액체기름을 쇼트닝이나 마아가린 제조에 적합한 고체 지방으로 변환시키며, 콩기름과 같이 리놀레산, 리놀렌산과 같은 고도불포화 지방산을 많이 함유한 식용유의 경우 이들의 이중 결합수를 감소시켜 자동산화의 기회를 줄임으로써 안정되고 질 좋은 기름을 공급 가능케하고 또한 기름의 붉은 색을 제거한다.¹⁻⁵⁾ 이 공정은 닉켈이나 구리등의 촉매를 사용한 불균일 촉매 반응을 이용한 공정으로 그동안 이 반응을 모사하는 모델에 대한 많은 연구가 꾸준히 진행되어, 현재 여러모델이 제안되어 있다.^{2,6-9)}

그러나 아직도 기체-액체-고체의 3상에서의 물질이동과 여러 지방산으로 구성된 콩기름에의 수소첨가, 그리고 이에 동반되는 이성화 반응의 연쇄적이고 동시적인 현상들을 충분히 설명할 만한 모델은 아직 제안되지 않고 있다. 또한 현재까지 제안된 모델들의 대다수가 이중결합이 3개인 리놀렌산을 포함시키지 않은 것들이어서 아직도 이에 대해서는 많은 연구가 행해져야 할것으로 생각된다. 이들 모델중에서 Albright⁶⁾가 제안한 모델은 리놀렌산을 포함시킨 비교적 단순한 모델로써 반응의 선택도(selectivity)란 개념을 정량화하는데 매우 유용한 선택도비(selectivity ratio)를 도입하였다.²⁻⁵⁾

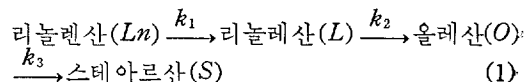
수소첨가반응을 특성짓는 반응속도, 선택도비 및 트란스 이성질체 생성에 영향을 미치는 공정변수로는 촉매의 종류 및 농도, 교반속도, 반응온도 및 압력등이 있다. 이중에서 촉매는 특히 중요하며 공업적으로 닉켈을 사용하는데, 15년 전에 개발된 닉켈 촉매는 반응속도, 선택성, 수명면에서 팔복할만큼 개량된 것으로 지금도 사용되고 있으며⁴⁾, flake 상으로 되어있기 때문에 반응후의 분리에 재래식 일상 필터와 frame

and plate filter를 이용하여 비교적 쉽게 기름으로부터 분리가 가능하나 같은 촉매를 여러번 반복해서 쓰는 경우 촉매의 입자가 콜로이드상으로 되기 때문에 분리에 많은 문제점이 있다. 이와같은 촉매의 분리 문제를 해결하기 위하여 본 실험에서 사용된 Gulftronic 분리기는 최근 미국 Gulf Science and Technology 사에서 개발한 것으로 본래 석유공업에서 5μ 이하의 고형입자들을 효율적으로 분리하기 위하여 개발되었는데 이 새로운 시스템은 절연성의 유체로부터 미세한 입자들을 제거하기 위하여 비균일 물질이 높은 전장하에서 분극되어서 더 큰 전장의 영역으로 이동하려는 경향으로 정의되는 dielectrophoresis 원리를 사용한 것이다.^{11,12)}

본 실험에서는 회분식 수소첨가 반응장치를 실험실 규모로 조립하고 이 반응기를 이용하여 콩기름의 수소첨가 반응시 여러 반응조건 등이 반응속도, 선택도비, 트란스 이성질체 생성에 미치는 영향을 검토하였으며 반응후의 촉매분리를 위하여 위에 언급한 Gulftronic 분리기를 사용했을때 분리효율에 미치는 공정변수의 영향을 조사하였다.

2. 이론적 배경

콩기름의 조성은 탄소수가 18인 리놀렌산(*Ln*), 리놀레산(*L*), 올레산(*O*) 및 스테아르산(*S*)과 탄소수가 16인 팔미트산 등의 지방산들로 구성되어 있다. Albright⁶⁾는 이러한 콩기름의 수소첨가반응을 정량화하기 위하여 아래와 같은 단순화된 모델을 제안하였다.



이에 몇 가지 가정들^{2,6)}과 함께 유도되는 속도식들은 다음과 같다.

$$-\frac{dC_{Ln}}{dt} = k_1 C_{Ln} \quad (2)$$

$$\frac{dC_L}{dt} = k_1 C_{Ln} - k_2 C_L \quad (3)$$

$$\frac{dC_O}{dt} = k_2 C_L - k_3 C_O \quad (4)$$

위의 식들을 풀면

$$C_{Ln} = C_{Ln} e^{-k_1 t} \quad (5)$$

$$C_L = C_{Lno} \left(\frac{k_1}{k_2 - k_1} \right) (e^{-k_1 t} - e^{-k_2 t}) \\ + C_{Lo} e^{-k_2 t} \quad (6)$$

$$C_O = C_{Lno} \left(\frac{k_1}{k_2 - k_1} \right) \left(\frac{k_2}{k_3 - k_1} \right) (e^{-k_1 t} - e^{-k_3 t}) \\ - C_{Lno} \left(\frac{k_1}{k_2 - k_1} \right) \left(\frac{k_2}{k_3 - k_1} \right) (e^{-k_2 t} - e^{-k_3 t}) \\ + C_{Lo} \left(\frac{k_2}{k_3 - k_2} \right) (e^{-k_2 t} - e^{-k_3 t}) \\ + C_{Oo} e^{-k_3 t} \quad (7)$$

$$\text{한편, } C_S = C_{Lno} + C_{Lo} + C_{Oo} + C_{So} - C_{Ln} \\ - C_L - C_O \quad (8)$$

이다.

위의 결과식들을 전산기를 이용하여 풀므로써 각 속도상수들을 구할 수 있으며, 이제 선택적 수소첨가 반응에서 요구되는 낮은 요오드값에서 가능한한 부드러운 특성을 정량화하는데 사용되는 선택도비는 다음과 같이 정의된다.

$$\text{리놀렌산 선택도비 (LnSR)} = k_1/k_2 \quad (9)$$

$$\text{리놀레산 선택도비 (LSR)} = k_2/k_3 \quad (10)$$

3. 실험재료 및 방법

3-1. 재료

콩기름은 제일제당의 탈색유(8.5% 리놀렌산, 51.3% 리놀레산, 26.3% 올레산, 4.4% 스테아르산, 9.2% 팔미트산)를 얻어서 사용하였으며, 수소는 99.99% 순도의 것으로 동부실업을 통해 구입하였으며, 촉매로는 미국 Harshaw 사의 25% 닉켈 함량을 가진 Nysel DM-3(Ni-5100F)를 사용하였다.

3-2. 장치

본 실험에서 사용된 장치들은 Fig. 1에서 보는 바와 같다. 사용된 반응기는 미국 Chemical Equipment 사의 5 l 용량의 스테인레스강 Chemco 교반반응기로 유리내장(glass lined)이 되어 있고 교반기는 air motor에 의하여 작동되게 설계되어 있는 것이다. 회전속도는 압축공기선상에 설치된 line regulator와 throttling valve에

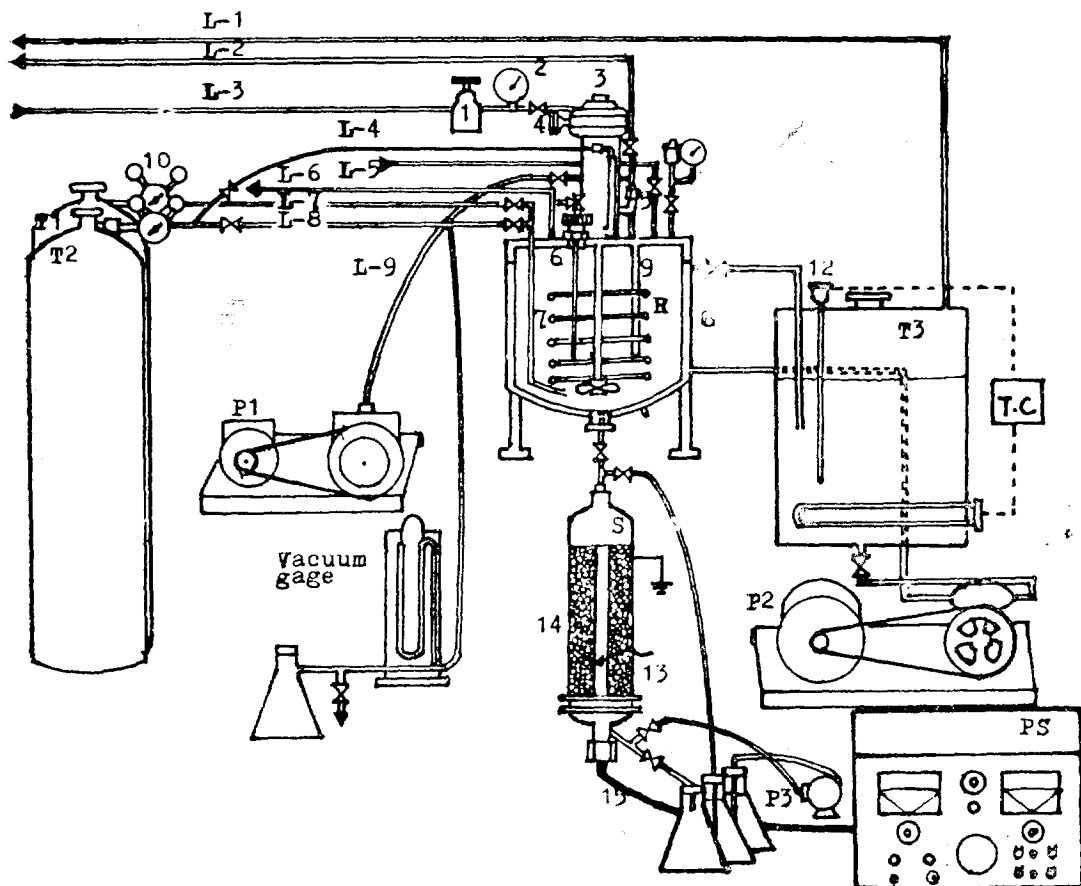
의해 조절할 수 있었으며, 반응기 내의 압력을 수소 실린더에 부착된 압력조절기에 의해 일정하게 유지되었다. 반응온도는 수소첨가 온도까지 가열할 때에는 heating oil tank에서 가열한 일본산 KSK #260 oil을 펌프로 사용하여 반응기의 자켓으로 순환시켰으며 일단 반응이 시작되었을 때의 발열량을 제거하기 위한 냉각은 반응기 내부의 냉각 코일에 냉각수를 순환시킴으로써 반응온도를 일정하게 유지하였다. 반응중 서로 채취는 가능하고 진관에 three way valve를 부착하여 반응기 내에 깊이 삽입된 sampling port로 부터 반응기 내부와 대기와의 압력차를 이용하여 할수 있었다. 또한 수소첨가 반응후의 촉매분리는 실험실용 스테인레스 강으로 만든 Gulftronic 분리기(4"OD × 13")를 사용하였는데 이의 설계허용 압력 및 온도는 각각 6.2×10^5 Pa 및 180°C였다. 이 분리기는 고압이 걸리는 중앙전극, 분리 성능을 높여주는 전극에 에너지를 공급해 주기위한 고압 부싱(bushing), 그리고 전극에 30KV까지의 고압을 걸어줄 수 있는 Hypotronics로 구성되어 있다.

3-3. 실험방법

반응은 앞에서 언급된 공정 변수들을 차례로 변화시켜 가며, 각각의 영향을 조사하였다. 시료는 10분 또는 5분간격으로 채취하였으며 이는 여과된 후 40°C로 유지된 굴절계를 통해 굴절율을 읽은 다음 미리 보정된 굴절율과 요오드값의 관계로부터 요오드값을 구해 시간에 따라 plot함으로써 요오드값이 80에 도달하는 시간을 계측하였다. 반응이 끝난 생성물은 그후의 분석을 위해 냉장고에 일단 저장하였다. 한편 촉매분리는 고정된 촉매농도와 요오드값의 반응물을 이해하는 전압, 유출액의 유속, 조작 온도를 변화시켜 가며 각 조작조건에 따른 유출액의 닉켈 함량을 조사하였다.

3-4. 분석

굴절율 및 요오드 값은 AOCS 법¹³⁾에 의하여 정량하였으며 지방산조성은 Christie 법¹⁴⁾에 의하여 지방산을 분리한 후 HPLC에 의하여 정량하



L-1 : Heating oil tank vent
 L-2 : Hydrogenator vent
 L-3 : Compressed air line
 L-4 : Lubrication oil connection
 L-5 : Cooling water in
 L-6 : Cooling water out
 L-7 : Hydrogen line
 L-8 : Nitrogen line
 L-9 : Vacuum line
 R : Hydrogenator
 S : Gulftronic Separator
 P1 : Vacuum pump
 P2 : Gear pump
 P3 : Micro pump
 T1 : Hydrogen tank
 T2 : Nitrogen tank
 T3 : Heating oil tank

1 : Pressure regulator
 2 : Pressure gage
 3 : Air motor
 4 : Muffler
 5 : Lubrication oil reservoir
 6 : Sample line
 7 : Cooling coil
 8 : Jacket
 9 : Thermometer
 10 : Regulator
 11 : Immersion heater
 12 : Sensor(C.A.)
 13 : Electrode
 14 : Beads
 15 : Cable
 PS : Hyptronics

Fig. 1. Hydrogenation Apparatus

였다.¹⁵⁾ 트란스 이성질체는 지방산을 일단 메틸 에스테르화 시킨 후 적외선 분광법¹³⁾에 의하여,

반응이 끝난 공기류 중의 닉켈 함량은 원소흡수 분광법¹³⁾에 의하여 정량하였다.

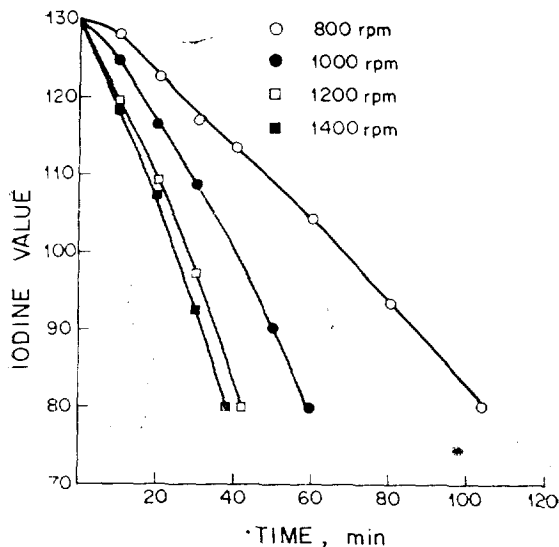


Fig. 2. Effect of Agitation on Reaction Rate

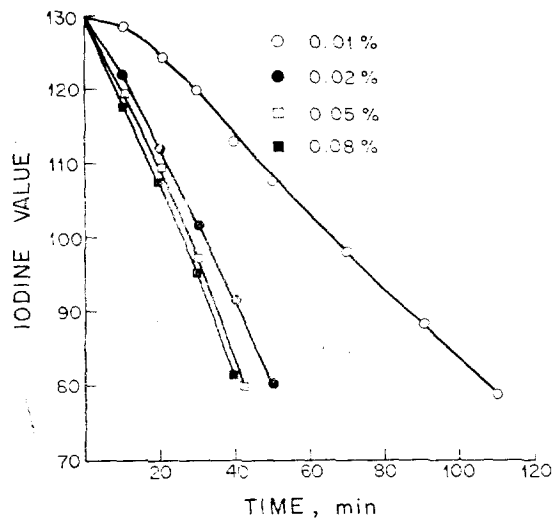


Fig. 3. Effect of Catalyst Concentration on Reaction Rate

4. 결과 및 고찰

4-1. 수소첨가반응

(1) 반응속도에 미치는 반응변수들의 영향

앞에서 언급한바와 같이 수소첨가반응시 중요한 반응공정 변수는 온도, 압력, 교반속도 및 촉매 농도등 4 가지이다. 본 실험에서는 반응속도에 미치는 반응 변수들의 영향을 알아보기 위하여 4개의 변수중 3개의 변수를 고정시키고 나머지 하나의 변수를 변화시킬 때 시간에 따른 요오드 값의 변화를 조사하였는데 이때 반응속도에 미치는 교반속도, 촉매농도, 온도 및 압력의 영향은 Fig. 2-5에서 보는 바와 같다. 즉 교반속도의 경우(Fig. 2 참조) 800 rpm에서 1,400 rpm으로 단계적으로 증가함에 따라서 반응속도($d(\text{IV})/dt$, Fig. 2에서의 기울기)는 점차로 증가하여 1,200 rpm 이상에서는 변화가 거의 없었다. 따라서 본 실험에서 사용한 반응기의 조건하에서는 교반속도가 1,200 rpm 정도면 기름 및 수소의 촉매표면에로의 확산에 주는 여러 제약들이 최소화된 것으로 생각된다. 촉매농도의 경우(Fig. 3 참조) 닉켈 함량 기준으로 0.01 %에서 0.02 %로 농도를 증가시켰을때 반

응속도는 빠르게 증가했으나 0.02 % 이상에서는 느리게 증가하였으며, 특히 0.05 % 이상에서는 그 현상이 더욱 두드러짐을 알 수 있었다. 반응온도의 경우(Fig. 4 참조) 온도를 150, 180, 210°C에서 반응시켰을 때 반응온도가 증가함에 따라 반응속도가 증가하였는데, 그 효과는 다른 반응변수들의 영향에 비해 가장 현저하였다. 그러나 온도의 증가에 따른 반응속도의 변화율은 점점 작아짐을 또한 관찰할 수 있었다. 반응 압력의 경우(Fig. 5 참조) 수소의 압력을 $2.05 \times 10^5 \text{ Pa}$ 에서 $4.12 \times 10^5 \text{ Pa}$ 까지 단계적으로 증가시킬 때 반응속도는 역시 증가하였으며 압력의 증가에 따른 반응속도의 변화율 역시 점점 감소함을 알 수 있었다.

위의 결과에서 보는 바와 같이 반응변수들을 증가시킬 때 반응속도가 증가함을 알 수 있었다. 반응속도를 크게하기 위해서는 확산에 의한 물질이동에 필요한 농도 구배를 작게 하거나 수소첨가 반응의 자체 반응속도를 크게 해주어야 한다.³⁾ 이때 교반속도의 증가는 수소를 기름속에 더 잘 확산시키고 확산이 일어나는 계면을 더 크게하여 물질이동에 필요한 농도구배를 작게해 줄 것이다. 한편 온도의 증가는 물질이동보다는 Arrhenius 식에 의한 반응자체를 촉진시킴에 의

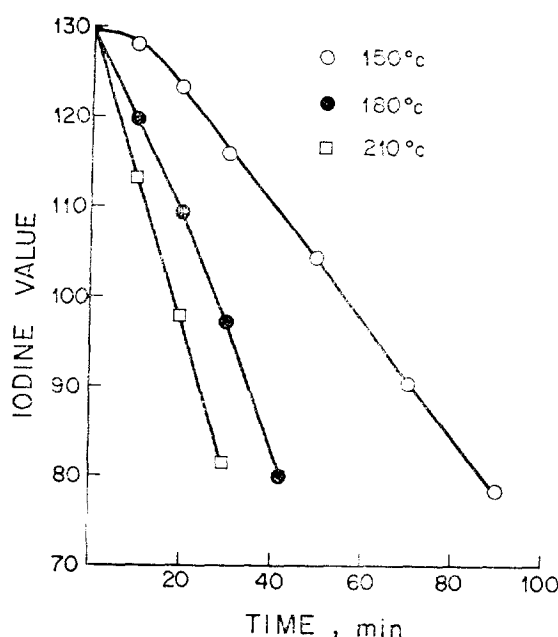


Fig. 4. Effect of Temperature on Reaction Rate

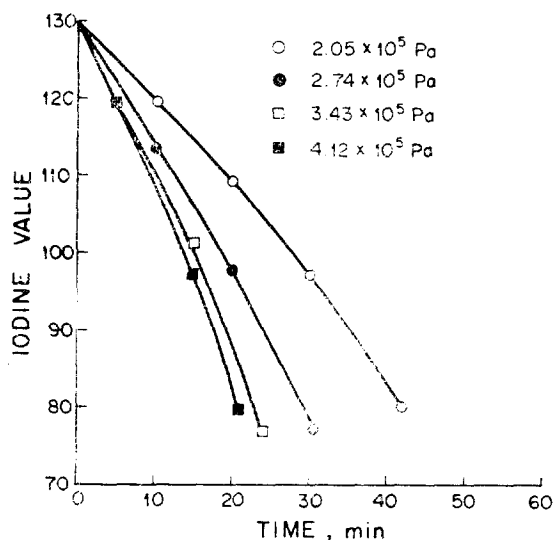


Fig. 5. Effect of Pressure on Reaction Rate

해 그리고 수소압력의 증가는 수소 농도를 전체적으로 증가시킴에 의해 반응속도를 증가시킨 것으로 추론된다.

(2) 선택도 비와 트란스이 성질체의 생성에 미치는 반응 변수들의 영향

수소첨가반응시 반응변수들이 선택도비와 트란스 이성질체의 생성에 미치는 영향을 알아보기 위하여 앞에서와 같이 각 반응변수들을 변화시켜가면서 수소첨가 반응을 한 콩기름의 요오드 값이 80에 도달했을때 그 콩기름의 선택도비 및 트란스 이성질체의 변화를 조사하였다. 선택도비와 트란스 이성질체의 생성에 미치는 닉켈 촉매의 농도, 반응온도, 반응압력 및 교반속도의 영향은 각각 Fig. 6-9에서 보는 바와 같으며 촉매농도, 온도의 경우 이 두 변수를 증가시키면 선택도비와 트란스 이성질체는 증가하였고, 압력과 교반속도를 증가시키면 반대 현상이 일어남을 알수 있는데 이는 다음과 같이 설명할 수 있다. 즉, 수소첨가반응에 있어서 실제로 반응에 참여하는 것은 촉매 표면에서의 용해된 수소농도로써 이 농도가 낮으면 더 큰 흡착력을 가진 고도 불포화 지방산에 우선적으로 수소가 첨가될 것이므로 선택도비는 증가할 것이며 또한 이때 반응성이 강한 메틸렌기로부터 수소원자가 떨어져 나갈 시간적 여유가 있기 때문에 트란스 이성질체가 생성될 확율은 커지며 반면에 촉매 표면에서의 수소농도가 높으면 반대현상이 일어나게 된다.³⁾ 한편, 온도의 증가는 확산에 의한 물질이동이 제한된 상태에서 반응 자체만을 촉진시킴으로써, 촉매농도의 증가는 상대적으로 단위 촉매량당 수소의 양을 감소시킴으로써 촉매표면에서의 수소농도를 낮게 할 것이므로 선택도비 및 트란스 이성질체 생성을 촉진시킨다. 한편, 압력과 교반속도의 증가는 반응이 일정한 상태에서 물질이동을 크게 함으로써, 촉매 표면에서의 수소농도를 크게 할 것이므로 선택도비 및 트란스 이성질체 생성을 감소시키게 된다.

(3) 반응조건의 선택과 반응에 따른 지방산조성의 변화

수소첨가 공정을 수행할 때 반응속도 및 선택도비는 최대한 빠르고 크게, 트란스 이성질체의 생성은 최대한 억제하는 것이 바람직하다.^{2,4)} 그러나 이 조건들을 동시에 만족시키는 반응 조건은 앞에서 본바와 같이 수소첨가 반응의 특성상 적어도 현재 공업적으로 많이 이용되고 있는 닉

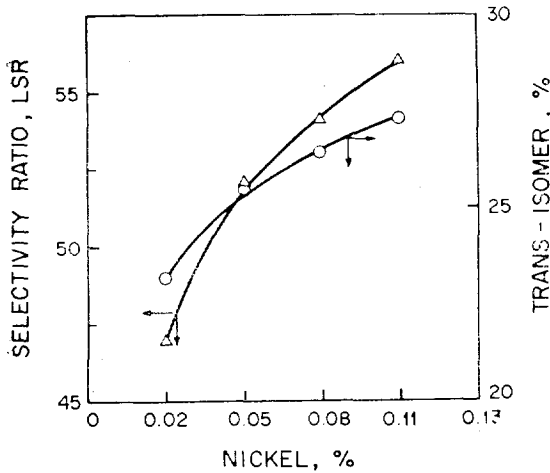


Fig. 6. Effect of Catalyst Concentration on Selectivity Ratio and Trans-isomers

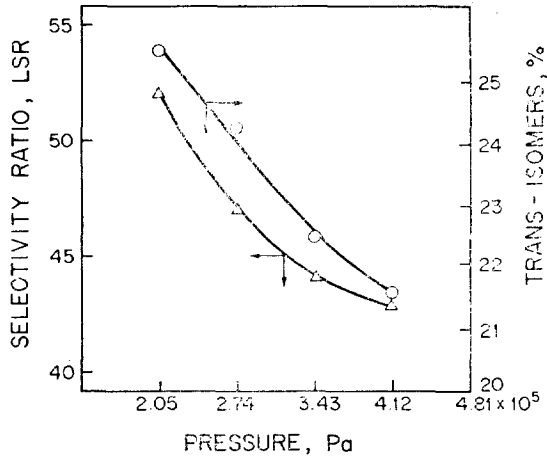


Fig. 8. Effect of Pressure on Selectivity Ratio and Trans-isomers

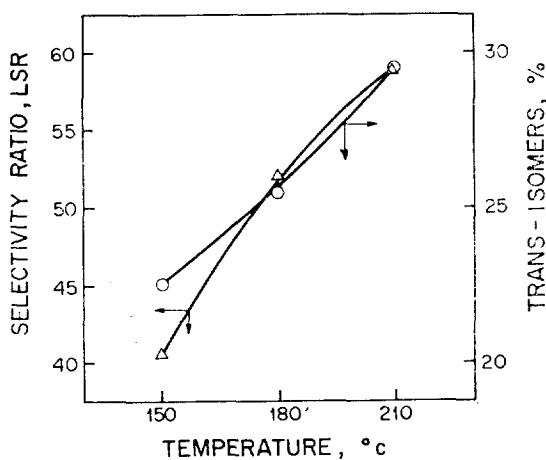


Fig. 7. Effect of Temperature on Selectivity Ratio and Trans-isomers

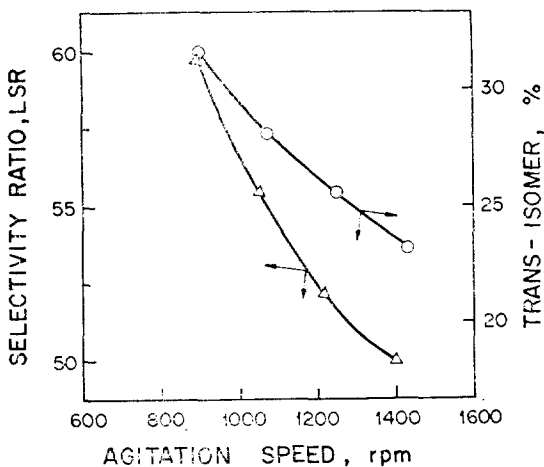


Fig. 9. Effect of Agitation on Selectivity Ratio and Trans-isomers

켈촉매로는 불가능하다. 이를 개선하기 위해서 구리-크로마이트 촉매 등이 개발되었으나 아직 공업적으로 이용하기에는 문제가 있다.⁴⁾

위와같은 점을 고려할때 수소첨가된 기름의 최종 용도에 따라 다소 차이가 있겠으나 본 반응기를 이용해서 콩기름의 수소첨가 반응을 시킬 때의 전형적인 조건들을 설정한다면, 온도는 180°C 압력은 2.05×10^5 Pa, 교반속도는 1,200 rpm,

닉켈 촉매농도는 0.50 %이며 이와같은 조건에서 수소첨가반응을 시켰을 때 시간에 따른 지방산 조성의 변화를 보면 Fig. 10과 같다. 여기에서 보는 바와같이 이 반응은 Albright가 제안한 단순화된 모델로서 설명될 수 있음을 알 수 있었다. 또한 이 단순화된 모델에서의 속도상수 k_1 , k_2 , k_3 는 오오드 값을 80으로 고정시키고 전산기를 사용하여 구한 결과 유도기간이 5분일

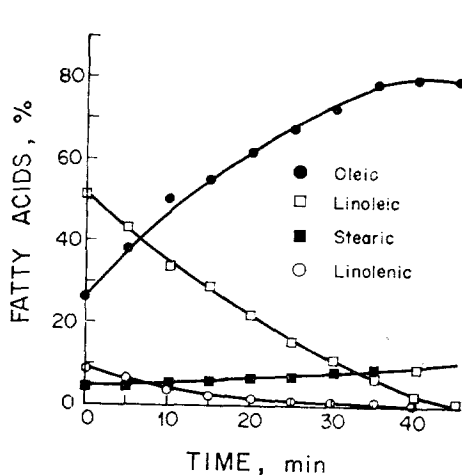


Fig. 10. Hydrogenation Curve

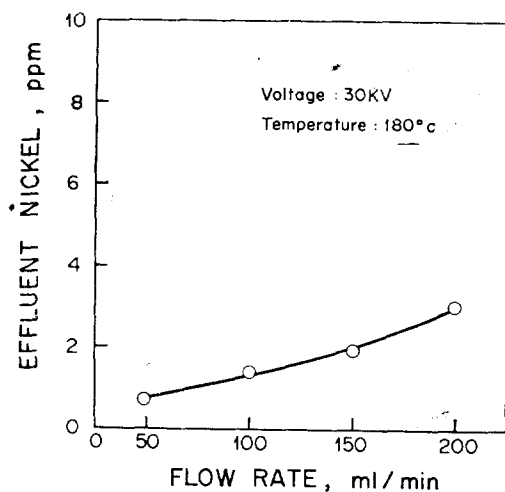


Fig. 12. Effect of Flow Rate on Nickel Separation Efficiency

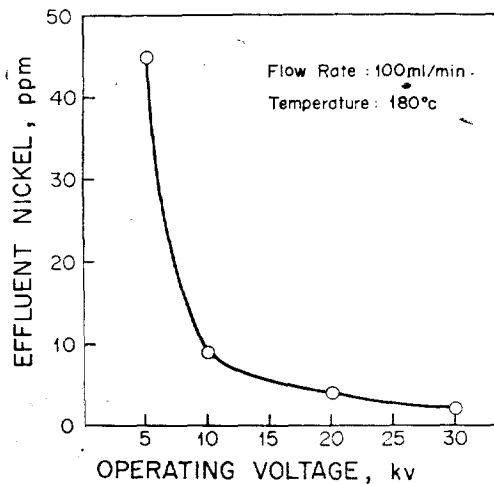


Fig. 11. Effect of Operating Voltage on Nickel Separation Efficiency

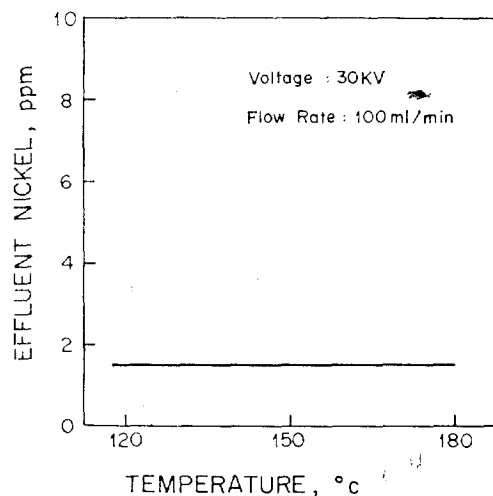


Fig. 13. Effect of Temperature on Nickel Separation Efficiency

때 $k_1 = 0.0713 \text{ min}^{-1}$, $k_2 = 0.0845 \text{ min}^{-1}$ $k_3 = 0.00145 \text{ min}^{-1}$ 이었으며 $LnSR$ 는 0.84 이었고 LSR 는 58.3 으로 비교적 높은 선택도비를 나타내었고 효오드 값을 80 이 될 때까지 수소첨가 반응을 하는 경우 리놀레산이 올레산으로 환원되는 반응속도가 올레산이 스테아르산으로 환원되는 속도보다 훨씬 빠르므로 산화 안정성이 증가됨과 동시에 제품의 경도(hardness)는 훨씬

감소됨을 알 수 있었다.

4-2. 촉매의 분리

앞에서 반응시킨 경화유(효오드 값 80, 닉켈농도 0.05 %)에서 닉켈촉매를 제거하기 위하여 Gulftronic 분리기를 사용하였으며 전압, 유속, 온도 등의 운전 변수들의 영향을 조사하였는 바 그 결과는 다음과 같다.

(1) 분리성능에 미치는 전압효과

*Fig. 11*에서 보는 바와 같이 유속 = 100ml/min, 온도 = 180°C의 조건하에서 유출액의 닉켈 함량은 분리기에 걸어주는 전압을 증가시킴에 따라 현저하게 감소함을 알수 있었다. 특히 저전압(5 Kv) 부근에서는 매우 높은 함량을 나타내고 있어, 실제로 촉매분리에 이용하려면 최소한 10 Kv 이상의 전압을 걸어야 함을 알수 있었다. 또한 20 Kv 이상의 전압에서는 1~3 pm 정도로 99.5% 이상의 제거율을 나타내므로 그 성능은 매우 우수하다고 하겠다.

(2) 분리성능에 미치는 유속효과

*Fig. 12*에서 보는 바와 같이 온도 180°C, 걸어준 전압 30 Kv의 조건하에서 유속을 점차 증가시킨 결과 유출액의 닉켈 함량 역시 점차 증가함을 알수 있었다. 이는 분리기내의 체류기간의 감소때문에 연은 결과라고 해석할 수 있겠으며, 유속이 50ml/min 정도일 때 촉매농도가 완전히 1 ppm 미만으로 떨어졌다는 사실은 주목할만하다.

(3) 분리성능에 미치는 온도 효과

*Fig. 13*에서 보는 바와 같이 전압 30 Kv, 유속 100 ml/min의 조건하에서 원료의 온도변화에 따른 유출액의 닉켈 함량변화는 거의 없음을 볼 수 있었다. 그러나 온도를 증가시키면 유체의 점도는 줄어들 것이며 이에 따라 분리기 속을 통과하는 속도는 증가할 것이므로 실제 운전에 있어서 온도의 증가는 단지 유속을 증가시키는 역할을 할뿐 실제 촉매분리에는 직접 영향을 주지 못한다고 결론지을 수 있겠다.

5. 결 론

5-1. 반응

(1) 반응온도를 증가시키면, 수소첨가 반응속도는 증가하며, 선택도비 및 트란스 이성질체 생성 역시 증가한다. 반응압력을 증가시키면, 수소첨가 반응속도는 증가하며, 선택도비 및 트란스 이성질체 생성은 감소한다. 교반속도를 증가

시키면, 수소첨가 반응속도는 증가하며, 선택도비 및 트란스 이성질체 생성은 감소한다. 촉매 농도를 증가시키면, 수소첨가 반응속도는 증가하며, 선택도비 및 트란스 이성질체 생성 역시 증가한다.

(2) 빠른 반응속도, 높은 선택도비 및 트란스 이성질체 생성의 최소화의 조건들을 모두 고려하여 본 반응기에서의 전형적인 반응조건을 설정한다면, 온도 180°C, 압력 2.05×10 Pa, 교반속도 1,200 rpm, 닉켈촉매농도 0.05%이며 이 때 Albright의 모델에서의 속도상수들을 요약 값이 80이고 유도기간이 5분 일때 $k_1 = 0.0713$, $k_2 = 0.0845$, $k_3 = 0.00145 \text{ min}^{-1}$ 이었으며 리놀레산 선택도 비는 58.3으로서 큰 값을 나타내었다.

5-2. 촉매분리

(1) 촉매의 분리성능은 가해진 전압의 증가와 유속의 감소에 따라 증가하였으나, 온도에는 무관하였다.

(2) 본 실험에서 사용된 Gluftronic 분리기는 운전 및 조작이 매우 편리할 뿐 아니라 낮은 전압 영역 및 높은 유속영역만 피한다면 분리성능 또한 매우 우수하였다.

참고 문헌

1. D. Swern(Ed.), "Bailey's Industrial Oil and Fat Products," 3rd ed. Wiley, N.Y., 1964, p. 793.
2. L.F. Albright, J. Am. Oil Chem. Soc., 50(1973), 255.
3. J.W. Coenen, J. Am. Oil Chem. Soc., 53(1976), 382.
4. R.R. Allen, J. Am. Oil Chem. Soc., 55(1978), 792.
5. J.I. Gray and L.F. Russel, J. Am. Oil Chem. Soc., 56(1979), 36.
6. L.F. Albright, Chem. Eng., 11(1967), 197.

7. L.F. Albright, J. Am. Oil Chem. Soc., **47**(1970), 490.
8. L.F. Albright, J. Am. Oil Chem. Soc., **47**(1970), 295.
9. K. Hashimoto, K. Muroyama and S. Nagata, J. Am. Oil Chem. Soc., **48**(1971), 291.
10. H.F. Rase, "Chemical Reactor Design for Process Plants," Vol. 2, Wiley, N. Y. 1977, p. 161.
11. G. R. Fritsche and L.W. Haniak, U. S. Patent 3,928,158 (1975).
12. H.A. Pohl, J. Appl. Phys., **29**(1958), 1182.
13. AOCS, "Official and Tentative Methods of American Oil Chemists' Society," 3rd ed., Champaign, IL (Revised 1980).
14. W.W. Christie, "Lipid Analysis," Pergamon Press, N.Y. 1973, p. 85.
15. S.G. Oh and S.K. Hong, MCPE Thesis, KAIST (1981).